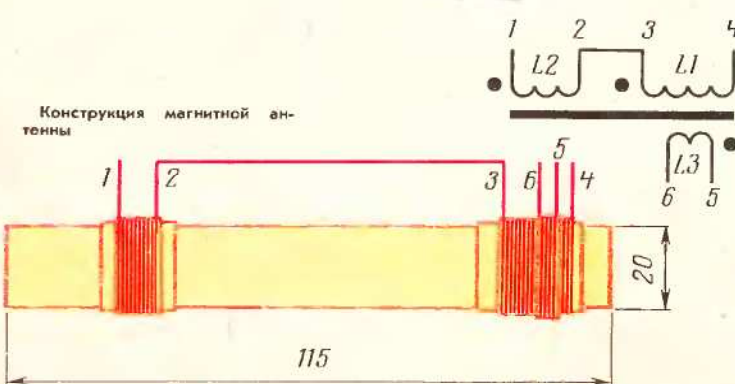


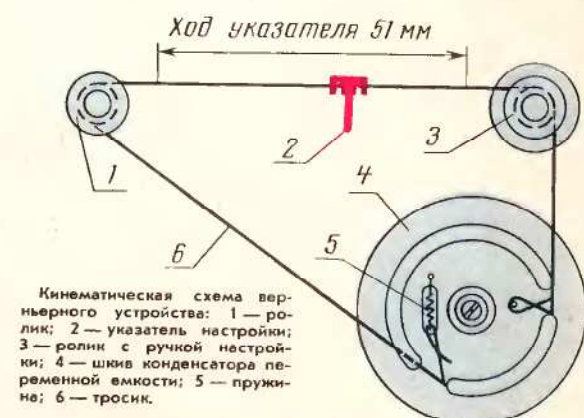
Транзисторный приемник „Сокол-403“

Инж. Л. НОВОСЕЛОВ

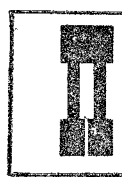
Конструкция магнитной антенны



115



Кинематическая схема верхнерадиоустановки:
1 — ролик;
2 — указатель настройки;
3 — ролик с ручкой настройки;
4 — щуп конденсатора переменной емкости;
5 — пружина;
6 — провод.



приемник «Сокол-403» рассчитан на прием программ радиовещательных станций в диапазонах длинных (150—408 кгц) и средних (525—1605 кгц) волн. Прием станций ведется на внутреннюю магнитную антенну, или на внешнюю антенну, которая подключается через специальное гнездо. Чувствительность приемника в диапазонах ДВ и СВ при приеме на внутреннюю антенну, выходной мощности 5 мвт и отношении сигнал/шум не менее 20 дБ составляет соответственно 1,0 и 0,5 мв/м; избирательность по соседнему каналу при расстройке на ± 10 кгц не менее 20 дБ, а ослабление зеркального канала не менее 16 дБ в диапазоне ДВ и не менее 20 дБ в диапазоне СВ. Система АРУ приемника обеспечивает изменение выходного напряжения на 10 дБ при изменении входного напряжения на 26 дБ. Диапазон ручной регулировки громкости 30 дБ.

Диапазон рабочих частот по звуковому давлению 450—3000 гц. Номинальное звуковое давление — 0,13 н.д.².

Питается приемник от батареи «Крона» или от аккумулятора 7Д-0,1, напряжением 9 в. Ток покоя 7 ма. В комплект «Сокола-403» входит зарядное устройство, которое обеспечивает заряд аккумуляторной батареи при выключенном приемнике без изъятия аккумулятора из корпуса. Работоспособность приемника сохраняется при уменьшении напряжения питания до 5,6 в.

Размеры приемника 157 × 92 × 40 мм, вес (без источника питания) 400 г.

Принципиальная схема. Преобразователь частоты радиоприемника «Сокол-403» (рис. 1) выполнен на транзисторе T1 по схеме с совмещенным гетеродином. Напряжение сигнала с входных цепей поступает непосредственно на базу транзистора T1, таким образом, для принимаемого сигнала этот транзистор включен по схеме с общим эмиттером.

При переходе с диапазона на диапазон входные и гетеродинные цепи коммутируют переключателем B1. Связь между контурами входной цепи и базой транзистора T1 преобразователя частоты — трансформаторная. Гетеродин собран по трехточеч-

ной схеме с трансформаторной связью. Колебания гетеродина поступают в цепь эмиттера транзистора T1 с частотой катушки L6 или L8 в зависимости от выбранного диапазона. Резистор R3 совместно с резисторами R1 и R2 служит для температурной стабилизации каскада.

Преобразователь частоты нагружен на трехконтурный фильтр со средоточенной селекции, обеспечивающей заданную избирательность приемника. Связь преобразователя с фильтром — трансформаторная, а с первым каскадом усилителя ПЧ — автотрансформаторная. Ширина полосы пропускания ФСС определяется емкостями конденсаторов связи C16 и C18 и составляет около 8 кгц на уровне 6 дБ. Для исключения самовозбуждения приемника на высокочастотном конце СВ диапазона в коллекторную цепь транзистора T1 включен конденсатор C13.

Усилитель ПЧ — двухкаксадный. Он выполнен на транзисторах T2 и T3, включенных по схеме с общим эмиттером. Первый каскад усилителя ПЧ — резистивный, а второй — резонансный с частичной нейтрализацией.

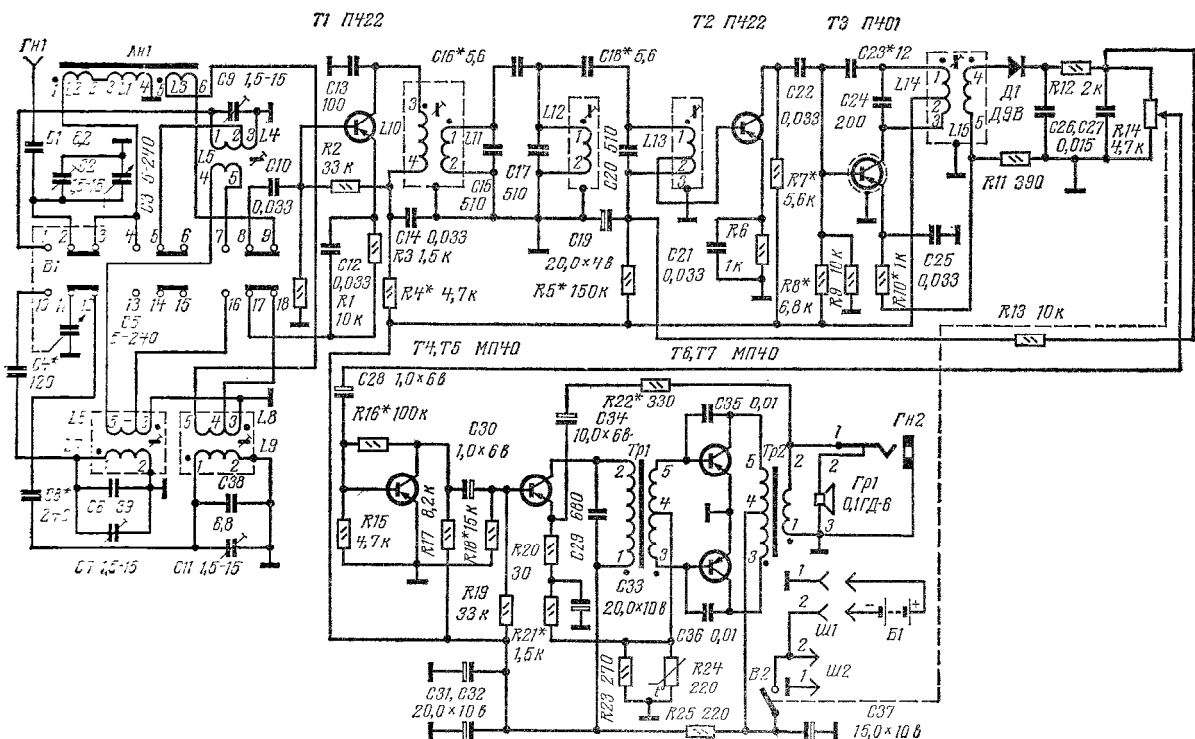


Рис. 1. Принципиальная схема радиоприемника.

Таблица 1

Напряжение на электродах транзисторов, в	<i>T₁</i>	<i>T₂</i>	<i>T₃</i>	<i>T₄</i>	<i>T₅</i>	<i>T₆</i>	<i>T₇</i>
<i>U₆</i>	-0,95	-0,8	-1,0	-0,42	-2,2	-0,12	-0,12
<i>U₃</i>	-0,8	-0,55	-0,9	0	-2,0	0	0
<i>U_K</i>	-5,3	-5,1	-8,2	-4,2	-7,8	-9,0	-9,0

цией, компенсирующей внутреннюю обратную связь в транзисторе *T₃*. Емкость нейтродиничного конденсатора *C₂₃* подбирается при настройке. Частичная нейтралитизация позволила повысить коэффициент усиления второго каскада усилителя ПЧ до 100—120. Первый каскад усилителя ПЧ нагружен на резистор *R₇*, нагрузкой второго каскада является контур *L₁₄*, *C₂₄* с полосой пропускания 35—40 кГц на уровне 3 дБ.

Детектор выполнен на диоде *D₁* по схеме с последовательным включением нагрузки, функции которой выполняет регулятор громкости *R₁₄*, объединенный с выключателем питания *B₂*. Фильтр высокочастотной составляющей проледетированного напряжения состоит из резистора *R₁₂* и конденсаторов *C₂₆*, *C₂₇*. Постоянная составляющая проледетированного сигнала используется для автоматической регулировки усиления.

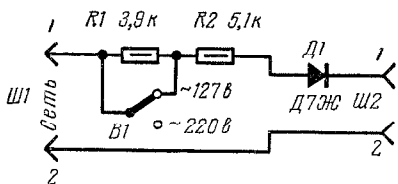


Рис. 2. Зарядное устройство.

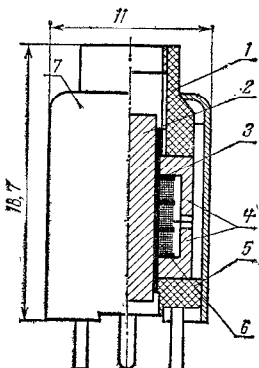


Рис. 3. Конструкция контура ПЧ. 1 — корпус, 2 — подстроечный сердечник, 3 — каркас катушки, 4 — чашки броневого сердечника, 5 — основание, 6 — катушка, 7 — экран.

ния. Напряжение АРУ снимается с резистора *R₁₄* и через фильтр *R₁₃*, *C₁₃* подается на базу транзистора *T₂*.

Усилитель НЧ трехкаскадный. Первый каскад собран на транзисторе *T₄* по схеме с общим эмиттером и нагружен на резистор *R₁₇*. Каскад охвачен отрицательной обратной связью, напряжение которой из цепи коллектора транзистора *T₄* через резистор *R₁₆* подается в цепь его базы. Второй каскад усилителя НЧ выполнен на транзисторе *T₅* и нагружен на согласующий трансформатор *Tr₁*. Выходной каскад усилителя НЧ двухтактный, собран он на транзисторах *T₆* и *T₇* по трансформаторной схеме. Нагрузкой этого каскада служит выходной трансформатор *Tr₂*, во вторичную обмотку которого включен громкоговоритель 0,1 ГД-6.

Напряжение смещения на базы транзисторов *T₆* и *T₇* снимается с делителя *R₂₀*, *R₂₁*, *R₂₃*, *R₂₄*, включенного в цепь эмиттера транзистора

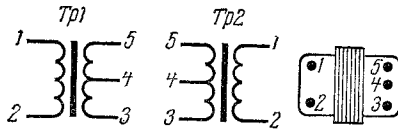
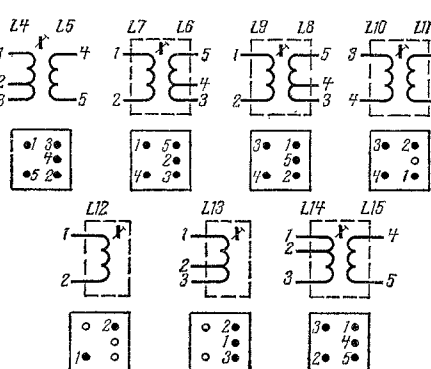
Рис. 4. Распайка выводов трансформаторов *Tr₁* и *Tr₂*.

Рис. 5. Распайка выводов высокочастотных катушек.

T₅. Два последних каскада усилителя НЧ охвачены отрицательной обратной связью через цепочки *R₂₂*, *C₃₄*. Конденсаторы *C₃₅*, *C₃₆* корректируют частотную характеристику усилителя и устраняют фазовый сдвиг в области высших звуковых частот. Терморезистор *R₂₄* совместно с резистором *R₂₃* обеспечивает температурную стабилизацию выходного каскада усилителя НЧ. Для устранения паразитных колебаний первичная обмотка согласующего трансформатора защищена конденсатором *C₂₉*.

Для более устойчивой работы приемника в цепь питания включен развязывающий фильтр *R₂₅*, *C₃₇*, *C₃₁*, *C₃₂*. Через гнездо *Гн2* к приемнику может быть подключен малогабаритный телефон ТМ-2. Разъем *Ш1* служит для подключения батареи питания, а разъем *Ш2* — зарядного устройства в случае использования аккумуляторов. Принципиальная схема зарядного устройства приведена на рис. 2.

Режимы транзисторов приемника по постоянному току указаны в табл. 1.

Конструкция и детали. Корпус приемника выполнен из цветного ударопрочного полистирола.

Передняя часть корпуса является несущей конструкцией, к ней крепится монтажная (печатная) плата и громкоговоритель.

Ручки настройки и регулятора громкости выведены на правую боковую стенку корпуса, а телефонное гнездо — на левую. На задней стенке корпуса расположены антенное гнездо, ручка переключателя диапазонов, углубление для подключения разъема *Ш2* и съемная крышка платы питания.

Замедление хода КПЕ достигается при помощи шкинов разных диаметров (см. 4-ю страницу вкладки).

Монтаж приемника выполнен на печатной плате из фольгированного гетинакса размером 118×75 мм.

В приемнике «Сокол-403» применены резисторы: *R₁₄*—СП3—3в; *R₂₄*—ММТ—13б; остальные — ВС; 0,125; конденсаторы *C₁*, *C₄*, *C₆*, *C₈*, *C₁₃*, *C₁₆*, *C₁₈*, *C₂₃*, *C₂₄*, *C₃₈* — КТ-10; *C₃₁*, *C₃₂*, *C₃₇* — ЭМ-10; *C₃₀*, *C₂₈*, *C₃₄* — ЭМ-6; *C₁₉*, *C₃₃* — ЭМ-4; *C₁₅*, *C₁₇*, *C₂₀* — ПМ-1; *C₁₀*, *C₁₂*, *C₁₄*, *C₂₁*, *C₂₂*, *C₂₅*—*C₂₇*, *C₃₅*, *C₃₆*, *C₂₉*—КЛС-1; *C₃*, *C₅* — КПЕ-5 с подстроичными конденсаторами *C₂*, *C₇*, *C₉* и *C₁₁*, 1,5—15 нФ.

Переключатель диапазонов *B₁* продольно-движкового типа. Этот переключатель состоит из капроновой колодки, в гнезда которой вставлены контактные лепестки, и подвижной гетинакской пластины с контактными ножами. Ножевые контакты в одном из двух фиксированных положений замыкают определенные группы кон-

Таблица 2

Обозначение по схеме	Число витков	Провод	Индуктивность, мкГн	Добротность	Частота проверки, Мгц	Намотка	Каркас	Сердечник	Примечание
L_2 L_1 L_3 L_4 L_5	16 55 5	ЛЭШО $10 \times 0,07$ ЛЭШО $10 \times 0,07$ ПЭВТЛ-1 0,15	400 — —	50 — —	0,76 — —	Рядовая плотная То же Рядовая	Подвижный	Феррит 400НН $115 \times 20 \times 3$ мм	L_3 поверх L_2
L_6 L_7 L_8 L_9 L_{10} L_{11} L_{12} L_{13} L_{14} L_{15}	$110 + 434,5$ $2 - 3$ $3 - 4 - 5$ $3 - 4 - 5$ 20 32×3 32×3 32×3 отв. от 86 витка $50,5 + 110$ 110	$1 - 2$ ПЭВ-1 0,06 $2 - 3$ ПЭВ-1 0,08 ПЭВ-1 0,15 ПЭВ-1 0,15 ПЭВ-1 0,08 ПЭВ-1 5 $\times 0,06$ ПЭВ-1 5 $\times 0,06$ ПЭВ-1 5 $\times 0,06$ ПЭВ-1 0,08 ПЭВ-1 0,08	9000 — — — — 630 260 260 260 260 260 260 260 790 $—$	100 — — — — 120 130 130 130 130 0,465 0,465 0,465 0,465 0,465	0,24 — — — — 0,76 — — — — » » » » » » » » » »	Секционированная, винтовая Трехсекционный $10,5 \times 6,4 \times 3,7$ мм	Броневой 600НН $4,0 \times 8,6$ мм, полстроечный 600НН $12,0 \times 2,86$ мм	Броневой 600НН $4,0 \times 8,6$ мм, полстроечный 600НН $12,0 \times 2,86$ мм	L_5 поверх L_4
L_6 L_7 L_8 L_9 L_{10} L_{11} L_{12} L_{13} L_{14} L_{15}	$2,5 + 5,5$ $2 + 5,5$ 20 32×3 32×3 32×3 32×3 отв. от 86 витка $50,5 + 110$ 110	$1 - 2$ ПЭВ-1 0,06 ПЭВ-1 0,15 ПЭВ-1 0,08 ПЭВ-1 5 $\times 0,06$ ПЭВ-1 5 $\times 0,06$ ПЭВ-1 5 $\times 0,06$ ПЭВ-1 0,08 ПЭВ-1 0,08	$50 \times 2 + 50,5$ $2,5 + 5,5$ — — — — — — — —	630 — — — — — — — — —	120 — — — — — — — — —	0,76 — — — — — — — — —	То же То же То же То же То же » » » » »	То же То же То же » » » » » »	L_6 поверх L_7
L_{16}	$1 - 2$	ПЭВ-1 0,08	$15 \times 10,5 \times 10,5$ мм	—	—	—	»	»	L_8 поверх L_9
L_{17}	$1 - 2$	ПЭВ-1 0,08	—	260	130	0,465	»	»	L_{10} поверх L_{11}
L_{18}	$1 - 2$	ПЭВ-1 0,08	—	260	130	0,465	»	»	—
L_{19}	$1 - 2 - 3$	ПЭВ-1 0,08	—	260	130	0,465	»	»	—
L_{20}	$1 - 2 - 3$	ПЭВ-1 0,08	—	260	130	0,465	»	»	—
L_{21}	$1 - 2 - 3$	ПЭВ-1 0,08	—	260	130	0,465	»	»	—
L_{22}	$1 - 2 - 3$	ПЭВ-1 0,08	—	260	130	0,465	»	»	—
L_{23}	$1 - 2 - 3$	ПЭВ-1 0,08	—	260	130	0,465	»	»	—
L_{24}	$1 - 2 - 3$	ПЭВ-1 0,08	—	260	130	0,465	»	»	—
L_{25}	$1 - 2 - 3$	ПЭВ-1 0,08	—	260	130	0,465	»	»	—
L_{26}	$1 - 2 - 3$	ПЭВ-1 0,08	—	260	130	0,465	»	»	—
L_{27}	$1 - 2 - 3$	ПЭВ-1 0,08	—	260	130	0,465	»	»	—
L_{28}	$1 - 2 - 3$	ПЭВ-1 0,08	—	260	130	0,465	»	»	—
L_{29}	$1 - 2 - 3$	ПЭВ-1 0,08	—	260	130	0,465	»	»	—
L_{30}	$1 - 2 - 3$	ПЭВ-1 0,08	—	260	130	0,465	»	»	—
L_{31}	$1 - 2 - 3$	ПЭВ-1 0,08	—	260	130	0,465	»	»	—
L_{32}	$1 - 2 - 3$	ПЭВ-1 0,08	—	260	130	0,465	»	»	—
L_{33}	$1 - 2 - 3$	ПЭВ-1 0,08	—	260	130	0,465	»	»	—
L_{34}	$1 - 2 - 3$	ПЭВ-1 0,08	—	260	130	0,465	»	»	—
L_{35}	$1 - 2 - 3$	ПЭВ-1 0,08	—	260	130	0,465	»	»	—
L_{36}	$1 - 2 - 3$	ПЭВ-1 0,08	—	260	130	0,465	»	»	—
L_{37}	$1 - 2 - 3$	ПЭВ-1 0,08	—	260	130	0,465	»	»	—
L_{38}	$1 - 2 - 3$	ПЭВ-1 0,08	—	260	130	0,465	»	»	—
L_{39}	$1 - 2 - 3$	ПЭВ-1 0,08	—	260	130	0,465	»	»	—
L_{40}	$1 - 2 - 3$	ПЭВ-1 0,08	—	260	130	0,465	»	»	—
L_{41}	$1 - 2 - 3$	ПЭВ-1 0,08	—	260	130	0,465	»	»	—
L_{42}	$1 - 2 - 3$	ПЭВ-1 0,08	—	260	130	0,465	»	»	—
L_{43}	$1 - 2 - 3$	ПЭВ-1 0,08	—	260	130	0,465	»	»	—
L_{44}	$1 - 2 - 3$	ПЭВ-1 0,08	—	260	130	0,465	»	»	—
L_{45}	$1 - 2 - 3$	ПЭВ-1 0,08	—	260	130	0,465	»	»	—
L_{46}	$1 - 2 - 3$	ПЭВ-1 0,08	—	260	130	0,465	»	»	—
L_{47}	$1 - 2 - 3$	ПЭВ-1 0,08	—	260	130	0,465	»	»	—
L_{48}	$1 - 2 - 3$	ПЭВ-1 0,08	—	260	130	0,465	»	»	—
L_{49}	$1 - 2 - 3$	ПЭВ-1 0,08	—	260	130	0,465	»	»	—
L_{50}	$1 - 2 - 3$	ПЭВ-1 0,08	—	260	130	0,465	»	»	—
L_{51}	$1 - 2 - 3$	ПЭВ-1 0,08	—	260	130	0,465	»	»	—
L_{52}	$1 - 2 - 3$	ПЭВ-1 0,08	—	260	130	0,465	»	»	—
L_{53}	$1 - 2 - 3$	ПЭВ-1 0,08	—	260	130	0,465	»	»	—
L_{54}	$1 - 2 - 3$	ПЭВ-1 0,08	—	260	130	0,465	»	»	—
L_{55}	$1 - 2 - 3$	ПЭВ-1 0,08	—	260	130	0,465	»	»	—
L_{56}	$1 - 2 - 3$	ПЭВ-1 0,08	—	260	130	0,465	»	»	—
L_{57}	$1 - 2 - 3$	ПЭВ-1 0,08	—	260	130	0,465	»	»	—
L_{58}	$1 - 2 - 3$	ПЭВ-1 0,08	—	260	130	0,465	»	»	—
L_{59}	$1 - 2 - 3$	ПЭВ-1 0,08	—	260	130	0,465	»	»	—
L_{60}	$1 - 2 - 3$	ПЭВ-1 0,08	—	260	130	0,465	»	»	—
L_{61}	$1 - 2 - 3$	ПЭВ-1 0,08	—	260	130	0,465	»	»	—
L_{62}	$1 - 2 - 3$	ПЭВ-1 0,08	—	260	130	0,465	»	»	—
L_{63}	$1 - 2 - 3$	ПЭВ-1 0,08	—	260	130	0,465	»	»	—
L_{64}	$1 - 2 - 3$	ПЭВ-1 0,08	—	260	130	0,465	»	»	—
L_{65}	$1 - 2 - 3$	ПЭВ-1 0,08	—	260	130	0,465	»	»	—
L_{66}	$1 - 2 - 3$	ПЭВ-1 0,08	—	260	130	0,465	»	»	—
L_{67}	$1 - 2 - 3$	ПЭВ-1 0,08	—	260	130	0,465	»	»	—
L_{68}	$1 - 2 - 3$	ПЭВ-1 0,08	—	260	130	0,465	»	»	—
L_{69}	$1 - 2 - 3$	ПЭВ-1 0,08	—	260	130	0,465	»	»	—
L_{70}	$1 - 2 - 3$	ПЭВ-1 0,08	—	260	130	0,465	»	»	—
L_{71}	$1 - 2 - 3$	ПЭВ-1 0,08	—	260	130	0,465	»	»	—
L_{72}	$1 - 2 - 3$	ПЭВ-1 0,08	—	260	130	0,465	»	»	—
L_{73}	$1 - 2 - 3$	ПЭВ-1 0,08	—	260	130	0,465	»	»	—
L_{74}	$1 - 2 - 3$	ПЭВ-1 0,08	—	260	130	0,465	»	»	—
L_{75}	$1 - 2 - 3$	ПЭВ-1 0,08	—	260	130	0,465	»	»	—
L_{76}	$1 - 2 - 3$	ПЭВ-1 0,08	—	260	130	0,465	»	»	—
L_{77}	$1 - 2 - 3$	ПЭВ-1 0,08	—	260	130	0,465	»	»	—
L_{78}	$1 - 2 - 3$	ПЭВ-1 0,08	—	260	130	0,465	»	»	—
L_{79}	$1 - 2 - 3$	ПЭВ-1 0,08	—	260	130	0,465	»	»	—
L_{80}	$1 - 2 - 3$	ПЭВ-1 0,08	—	260	130	0,465	»	»	—
L_{81}	$1 - 2 - 3$	ПЭВ-1 0,08	—	260	130	0,465	»	»	—
L_{82}	$1 - 2 - 3$	ПЭВ-1 0,08	—	260	130	0,465	»	»	—
L_{83}	$1 - 2 - 3$	ПЭВ-1 0,08	—	260	130	0,465	»	»	—
L_{84}	$1 - 2 - 3$	ПЭВ-1 0,08	—	260	130	0,465	»	»	—
L_{85}	$1 - 2 - 3$	ПЭВ-1 0,08	—	260	130	0,465	»	»	—
L_{86}	$1 - 2 - 3$	ПЭВ-1 0,08	—	260	130	0,465	»	»	—
L_{87}	$1 - 2 - 3$	ПЭВ-1 0,08	—	260	130	0,465	»	»	—
L_{88}	$1 - 2 - 3$	ПЭВ-1 0,08	—	260	130	0,465	»	»	—
L_{89}	$1 - 2 - 3$	ПЭВ-1 0,08	—	260	130	0,465	»	»	—
L_{90}	$1 - 2 - 3$	ПЭВ-1 0,08	—	260	130	0,465	»	»	—
L_{91}	$1 - 2 - 3$	ПЭВ-1 0,08	—	260	130	0,465	»	»	—
L_{92}	$1 - 2 - 3$	ПЭВ-1 0,08	—	260	130	0,465	»	»	—
L_{93}	$1 - 2 - 3$	ПЭВ-1 0,08	—	260	130	0,465	»	»	—
L_{94}	$1 - 2 - 3$	ПЭВ-1 0,08	—	260	130	0,465	»	»	—
L_{95}	$1 - 2 - 3$	ПЭВ-1 0,08	—	260	130	0,465	»	»	—
L_{96}	$1 - 2 - 3$	ПЭВ-1 0,08	—	260	130	0,465	»	»	—
L_{97}	$1 - 2 - 3$	ПЭВ-1 0,08	—	260	130	0,465	»	»	—
L_{98}	$1 - 2 - 3$	ПЭВ-1 0,08	—	260	130	0,465	»	»	—
L_{99}	$1 - 2 - 3$	ПЭВ-1 0,08	—	260	130	0,465	»	»	—
L_{100}	$1 - 2 - 3$	ПЭВ-1 0,08	—	260	130	0,465	»	»	—
L_{101}	$1 - 2 - 3$	ПЭВ-1 0,08	—	260	130	0,465	»	»	—
L_{102}	$1 - 2 - 3$	ПЭВ-1 0,08	—	260	130	0,465	»	»	—
L_{103}	$1 - 2 - 3$	ПЭВ-1 0,08	—	260	130	0,465	»	»	—
L_{104}	$1 - 2 - 3$	ПЭВ-1 0,08	—	260	130	0,465	»	»	—
L_{105}	$1 - 2 - 3$	ПЭВ-1 0,08	—	260	130	0,465	»	»	—
L_{106}	$1 - 2 - 3$	ПЭВ-1 0,08	—	260	130	0,465	»	»	—
L_{107}	$1 - 2 - 3$	ПЭВ-1 0,08	—	260	130	0,465	»	»	—
L_{108}	$1 - 2 - 3$	ПЭВ-1 0,08	—	260	130	0,465	»	»	—
L_{109}	$1 - 2 - 3$	ПЭВ-1 0,08	—	260	130	0,465	»	»	—
L_{110}	$1 - 2 - 3$	ПЭВ-1 0,08	—	260	130	0,465	»	»	—
L_{111}	$1 - 2 - 3$	ПЭВ-1 0,08	—	260	130	0,465	»	»	—
L_{112}	$1 - 2 - 3$	ПЭВ-1 0,08	—	260	130	0,465	»	»	—
L_{113}	$1 - 2 - 3$	ПЭВ-1 0,08	—	260	130	0,465	»	»	—
L_{114}	$1 - 2 - 3$	ПЭВ-1 0,08	—	260	130	0,465	»	»	—
L_{115}	$1 - 2 - 3$	ПЭВ-1 0,08	—	260	130	0,465	»	»	—
L_{116}	$1 - 2 - 3$	ПЭВ-1 0,08	—	260	130	0,465	»	»	—
L_{117}	$1 - 2 - 3$	ПЭВ-1 0,08	—	260	130				